

統計物理学 No.3

82311971 佐々木良輔

[1] (a)

$h = 0$ とすると m の 3 次で展開した自己無撞着方程式は

$$m = \frac{T_c}{T} m - \frac{1}{\mu_s} \left(\frac{T_c}{T} \right)^3 m^3 \quad (1)$$

$T < T_c$ で $m \neq 0$ より, 両辺を m で割ると

$$\begin{aligned} 1 &= \frac{T_c}{T} - \frac{1}{\mu_s} \left(\frac{T_c}{T} \right)^3 m^2 \\ \Leftrightarrow 0 &= \left(\frac{T_c}{T} - 1 \right) - \frac{1}{\mu_s} \left(\frac{T_c}{T} \right)^3 m^2 \\ \Leftrightarrow m &= \pm \mu_s \frac{T}{T_c} \sqrt{\frac{T_c - T}{T_c}} \end{aligned} \quad (2)$$

となる.

(b)

自己無撞着方程式の両辺を h で微分すると

$$\chi = \frac{T_c}{T} \left(\chi + \frac{1}{zJ} \right) - \frac{1}{\mu_s^2} \left(\frac{T_c}{T} \right)^3 \left(m + \frac{h}{zJ} \right)^2 \left(\chi + \frac{1}{zJ} \right) \quad (3)$$

ただし $\chi = \partial m / \partial h$ である.

$T > T_c$ のとき

$T > T_c$ では $m = 0$ である. また (3) 式において $h \rightarrow 0$ とすれば

$$\begin{aligned} \chi_0 &= \frac{T_c}{T} \left(\chi + \frac{1}{zJ} \right) \\ \Leftrightarrow \chi_0 &= \frac{\frac{T_c}{T} \frac{1}{zJ}}{1 - \frac{T_c}{T}} = \frac{T_c}{zJ(T - T_c)} \end{aligned} \quad (4)$$

となる.

$T < T_c$ のとき

(3) 式より

$$\chi \left(1 - \frac{T_c}{T} + \frac{3}{\mu_s^2} \left(\frac{T_c}{T} \right)^3 \left(m + \frac{h}{zJ} \right)^2 \right) = \frac{1}{zJ} \left(\frac{T_c}{T} - \frac{3}{\mu_s^2} \left(\frac{T_c}{T} \right)^3 \left(m + \frac{h}{zJ} \right)^2 \right) \quad (5)$$

$$\Leftrightarrow \chi = \frac{\frac{1}{zJ} \left(\frac{T_c}{T} - \frac{3}{\mu_s^2} \left(\frac{T_c}{T} \right)^3 \left(m + \frac{h}{zJ} \right)^2 \right)}{1 - \frac{T_c}{T} + \frac{3}{\mu_s^2} \left(\frac{T_c}{T} \right)^3 \left(m + \frac{h}{zJ} \right)^2}$$

ここで $h \rightarrow 0$ とすると

$$\chi_0 = \frac{\frac{1}{zJ} \left(\frac{T_c}{T} - \frac{3}{\mu_s^2} \left(\frac{T_c}{T} \right)^3 m^2 \right)}{1 - \frac{T_c}{T} + \frac{3}{\mu_s^2} \left(\frac{T_c}{T} \right)^3 m^2} \quad (6)$$

さらに $T \simeq T_c$ から m として (2) 式の結果を用いると

$$\begin{aligned} \frac{1}{\mu_s^2} \left(\frac{T_c}{T} \right)^3 m^2 &= \frac{1}{\mu_s^2} \left(\frac{T_c}{T} \right)^3 \mu_s^2 \left(\frac{T}{T_c} \right)^3 \left(\frac{T_c}{T} - 1 \right) \\ &= \frac{T_c}{T} - 1 \end{aligned} \quad (7)$$

なので (6) 式は

$$\begin{aligned} \chi_0 &= \frac{\frac{1}{zJ} \left(\frac{T_c}{T} - 3 \left(\frac{T_c}{T} - 1 \right) \right)}{1 - \frac{T_c}{T} + 3 \left(\frac{T_c}{T} - 1 \right)} \\ &= -\frac{(3T - 2T_c)}{2zJ(T - T_c)} \end{aligned} \quad (8)$$

となる. 図 1 に $zJ = 1$, $T_c = 5$ としたときの χ_0 の片対数グラフを示す. 赤線と青線はそれぞれ $T > T_c$, $T < T_c$ の場合である. 図から $T \simeq T_c$ では挙動 $T > T_c$, $T < T_c$ が近い挙動を取ることがわかる.

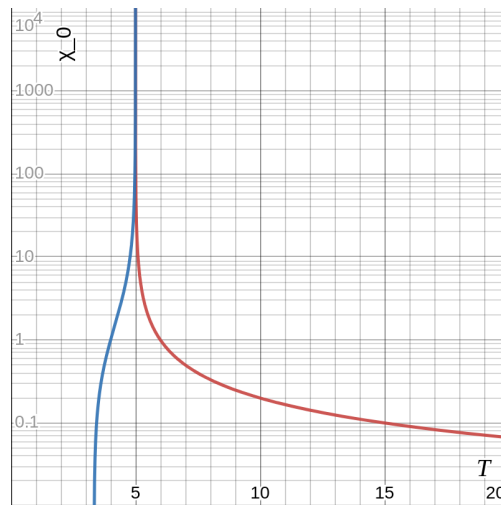


図 1 $zJ = 1$, $T_c = 5$ としたときの ξ_0 . 赤線は $T > T_c$, 青線は $T < T_c$ の場合.

[2] (a)

S^+ の期待値は

$$\begin{aligned}
 \langle S^+ \rangle &= \left(\cos \frac{\theta}{2} \langle \uparrow | + e^{-i\phi} \sin \frac{\theta}{2} \langle \downarrow | \right) | \uparrow \rangle \langle \downarrow | \left(\cos \frac{\theta}{2} | \uparrow \rangle + e^{i\phi} \sin \frac{\theta}{2} | \downarrow \rangle \right) \\
 &= \left(\cos \frac{\theta}{2} \times 1 + e^{-i\phi} \sin \frac{\theta}{2} \times 0 \right) \left(\cos \frac{\theta}{2} \times 0 + e^{i\phi} \sin \frac{\theta}{2} \times 1 \right) \\
 &= e^{i\phi} \cos \frac{\theta}{2} \sin \frac{\theta}{2} = \frac{e^{i\phi}}{2} \sin \theta
 \end{aligned} \tag{9}$$

同様にして S^- の期待値は

$$\begin{aligned}
 \langle S^- \rangle &= \left(\cos \frac{\theta}{2} \langle \uparrow | + e^{-i\phi} \sin \frac{\theta}{2} \langle \downarrow | \right) | \downarrow \rangle \langle \uparrow | \left(\cos \frac{\theta}{2} | \uparrow \rangle + e^{i\phi} \sin \frac{\theta}{2} | \downarrow \rangle \right) \\
 &= \left(\cos \frac{\theta}{2} \times 0 + e^{-i\phi} \sin \frac{\theta}{2} \times 1 \right) \left(\cos \frac{\theta}{2} \times 1 + e^{i\phi} \sin \frac{\theta}{2} \times 0 \right) \\
 &= k
 \end{aligned} \tag{10}$$

また S^z の期待値は

$$\begin{aligned}
 \langle S^z \rangle &= \left(\cos \frac{\theta}{2} \langle \uparrow | + e^{-i\phi} \sin \frac{\theta}{2} \langle \downarrow | \right) \frac{1}{2} (| \uparrow \rangle \langle \uparrow | - | \downarrow \rangle \langle \downarrow |) \left(\cos \frac{\theta}{2} | \uparrow \rangle + e^{i\phi} \sin \frac{\theta}{2} | \downarrow \rangle \right) \\
 &= \left(\cos \frac{\theta}{2} \langle \uparrow | + e^{-i\phi} \sin \frac{\theta}{2} \langle \downarrow | \right) \frac{1}{2} \left(\cos \frac{\theta}{2} | \uparrow \rangle - e^{i\phi} \sin \frac{\theta}{2} | \downarrow \rangle \right) \\
 &= \frac{1}{2} \left(\cos^2 \frac{\theta}{2} - \sin^2 \frac{\theta}{2} \right) = \frac{1}{2} \cos \theta
 \end{aligned} \tag{11}$$

である。

(b)

XXZ 鎖のハミルトニアンは S^+ , S^- を用いて

$$H = \frac{J}{2} \sum_{j=1}^N (S_j^+ S_{j+1}^- + S_j^- S_{j+1}^+) + J\Delta \sum_{j=1}^N S_j^z S_{j+1}^z - h \sum_{j=1}^N S_j^z \tag{12}$$

である。また傾けられた反強磁性状態は

$$| \Psi(\theta) \rangle = \otimes_j | \psi(\theta, \psi_j) \rangle = | \psi(\theta, 0) \rangle_1 \otimes | \psi(\theta, \pi) \rangle_2 \otimes \cdots \otimes | \psi(\theta, \pi) \rangle_N \tag{13}$$

と表される。このときのエネルギー期待値は

$$\langle H \rangle = \langle \Psi | \frac{J}{2} \sum_{j=1}^N (S_j^+ S_{j+1}^- + S_j^- S_{j+1}^+) | \Psi \rangle + \langle \Psi | J\Delta \sum_{j=1}^N S_j^z S_{j+1}^z | \Psi \rangle - \langle \Psi | h \sum_{j=1}^N S_j^z | \Psi \rangle \tag{14}$$

である. ここで $S_j^+ S_{j+1}^-$ の期待値は

$$\begin{aligned}
\langle \Psi | S_j^+ S_{j+1}^- | \Psi \rangle &= {}_N \langle \psi(\theta, \pi) | \otimes \cdots \otimes {}_{j+1} \langle \psi(\theta, \phi_{j+1}) | \otimes {}_j \langle \psi(\theta, \phi_j) | \otimes \cdots \otimes {}_1 \langle \psi(\theta, 0) | S_j^+ S_{j+1}^- \\
&\quad | \psi(\theta, 0) \rangle_1 \otimes \cdots \otimes | \psi(\theta, \phi_j) \rangle_j \otimes | \psi(\theta, \phi_{j+1}) \rangle_{j+1} \otimes \cdots \otimes | \psi(\theta, \pi) \rangle_N \\
&= {}_1 \langle \psi(\theta, 0) | \psi(\theta, 0) \rangle_1 \times \cdots \times {}_j \langle \psi(\theta, \phi_j) | S_j^+ | \psi(\theta, \phi_j) \rangle_j \times \\
&\quad {}_{j+1} \langle \psi(\theta, \phi_{j+1}) | S_{j+1}^- | \psi(\theta, \phi_{j+1}) \rangle_{j+1} \times \cdots \times {}_N \langle \psi(\theta, \pi) | \psi(\theta, \pi) \rangle_N \\
&= \frac{e^{i\phi_j}}{2} \sin \theta \times \frac{e^{-i\phi_{j+1}}}{2} \sin \theta
\end{aligned} \tag{15}$$

ただし ϕ_j と ϕ_{j+1} は必ずどちらかが π , もう片方が 0 になるので

$$\langle \Psi | S_j^+ S_{j+1}^- | \Psi \rangle = -\frac{1}{4} \sin^2 \theta \tag{16}$$

同様に $S_j^- S_{j+1}^+$ の期待値も

$$\langle \Psi | S_j^- S_{j+1}^+ | \Psi \rangle = -\frac{1}{4} \sin^2 \theta \tag{17}$$

したがって (14) 式の右辺第 1 項は

$$\begin{aligned}
\langle \Psi | \frac{J}{2} \sum_{j=1}^N (S_j^+ S_{j+1}^- + S_j^- S_{j+1}^+) | \Psi \rangle &= \frac{J}{2} \sum_{j=1}^N \langle \Psi | (S_j^+ S_{j+1}^- + S_j^- S_{j+1}^+) | \Psi \rangle \\
&= -\frac{JN}{4} \sin^2 \theta
\end{aligned} \tag{18}$$

となる. 次に $S_j^z S_{j+1}^z$ の期待値は

$$\begin{aligned}
\langle \Psi | S_j^z S_{j+1}^z | \Psi \rangle &= {}_N \langle \psi(\theta, \pi) | \otimes \cdots \otimes {}_{j+1} \langle \psi(\theta, \phi_{j+1}) | \otimes {}_j \langle \psi(\theta, \phi_j) | \otimes \cdots \otimes {}_1 \langle \psi(\theta, 0) | S_j^z S_{j+1}^z \\
&\quad | \psi(\theta, 0) \rangle_1 \otimes \cdots \otimes | \psi(\theta, \phi_j) \rangle_j \otimes | \psi(\theta, \phi_{j+1}) \rangle_{j+1} \otimes \cdots \otimes | \psi(\theta, \pi) \rangle_N \\
&= {}_1 \langle \psi(\theta, 0) | \psi(\theta, 0) \rangle_1 \times \cdots \times {}_j \langle \psi(\theta, \phi_j) | S_j^z | \psi(\theta, \phi_j) \rangle_j \times \\
&\quad {}_{j+1} \langle \psi(\theta, \phi_{j+1}) | S_{j+1}^z | \psi(\theta, \phi_{j+1}) \rangle_{j+1} \times \cdots \times {}_N \langle \psi(\theta, \pi) | \psi(\theta, \pi) \rangle_N \\
&= \frac{1}{2} \cos \theta \times \frac{1}{2} \cos \theta = \frac{1}{4} \cos^2 \theta
\end{aligned} \tag{19}$$

したがって (14) 式の右辺第 2 項は

$$\langle \Psi | J\Delta \sum_{j=1}^N S_j^z S_{j+1}^z | \Psi \rangle = \frac{J\Delta N}{4} \cos^2 \theta \tag{20}$$

次に S_j^z の期待値は

$$\begin{aligned}
\langle \Psi | S_j^z | \Psi \rangle &= {}_N \langle \psi(\theta, \pi) | \otimes \cdots \otimes {}_j \langle \psi(\theta, \phi_j) | \otimes \cdots \otimes {}_1 \langle \psi(\theta, 0) | S_j^z \\
&\quad | \psi(\theta, 0) \rangle_1 \otimes \cdots \otimes | \psi(\theta, \phi_j) \rangle_j \otimes \cdots \otimes | \psi(\theta, \pi) \rangle_N \\
&= {}_1 \langle \psi(\theta, 0) | \psi(\theta, 0) \rangle_1 \times \cdots \times {}_j \langle \psi(\theta, \phi_j) | S_j^z | \psi(\theta, \phi_j) \rangle_j \times \cdots \times {}_N \langle \psi(\theta, \pi) | \psi(\theta, \pi) \rangle_N \\
&= \frac{1}{2} \cos \theta
\end{aligned} \tag{21}$$

したがって (14) 式の右辺第 3 項は

$$\langle \Psi | h \sum_{j=1}^N S_j^z | \Psi \rangle = \frac{hN}{2} \cos \theta \tag{22}$$

となる. 以上から (14) 式は

$$\langle H \rangle = -\frac{JN}{4} \sin^2 \theta + \frac{J\Delta N}{4} \cos^2 \theta - \frac{hN}{2} \cos \theta \tag{23}$$

であり, したがって 1 スピンあたりのエネルギー期待値は

$$e(h, \theta) = \frac{\langle H \rangle}{N} = -\frac{J}{4} \sin^2 \theta + \frac{J\Delta}{4} \cos^2 \theta - \frac{h}{2} \cos \theta \tag{24}$$

となる.

(c)

(24) 式が極値を取るべきなので

$$\begin{aligned}
\frac{\partial e}{\partial \theta} &= -\frac{J}{2} \sin \theta \cos \theta - \frac{J\Delta}{2} \sin \theta \cos \theta + \frac{h}{2} \sin \theta \\
&= \frac{1}{2} \sin \theta (h - J(1 + \Delta) \cos \theta) = 0 \\
\therefore \quad \theta &= 0, \pi, \arccos\left(\frac{h}{J(1 + \Delta)}\right)
\end{aligned} \tag{25}$$

$h > J(1 + \Delta)$ のとき

このとき $\arccos(h/J(1 + \Delta))$ は定義域外であり, 値を持たない. したがって極値は $\theta = 0, \pi$ である. それぞれでのエネルギー期待値は

$$\begin{aligned}
e(h, 0) &= \frac{J\Delta}{4} - \frac{h}{2} \\
e(h, \pi) &= \frac{J\Delta}{4} + \frac{h}{2}
\end{aligned} \tag{26}$$

であり $h \geq 0$ から常に $e(h, 0)$ が小さい. したがって $h > J(1 + \Delta)$ では

$$\begin{aligned}\theta_0 &= 0 \\ e_0(h) &= \frac{J\Delta}{4} - \frac{h}{2}\end{aligned}\tag{27}$$

となる.

$h \leq J(1 + \Delta)$ のとき

このとき極値は $\theta = 0, \pi, \arccos(h/J(1 + \Delta))$ である. 以下では $\theta' = \arccos(h/J(1 + \Delta))$ とする. エネルギー期待値の 2 階微分は

$$\begin{aligned}\frac{\partial^2 e}{\partial \theta^2} &= \frac{\partial}{\partial \theta} \left(\frac{h}{2} \sin \theta - \frac{J}{4} (1 + \Delta) \sin 2\theta \right) \\ &= \frac{h}{2} \cos \theta - \frac{J}{2} (1 + \Delta) \cos 2\theta \\ &= \frac{h}{2} \cos \theta - \frac{J}{2} (1 + \Delta) (2 \cos^2 \theta - 1)\end{aligned}\tag{28}$$

したがって各極値でのエネルギー期待値の 2 階微分は

$$\frac{\partial^2 e}{\partial \theta^2}(h, 0) = \frac{1}{2} (h - J(1 + \Delta)) < 0\tag{29}$$

$$\frac{\partial^2 e}{\partial \theta^2}(h, \pi) = \frac{1}{2} (-h - J(1 + \Delta)) < 0\tag{30}$$

$$\begin{aligned}\frac{\partial^2 e}{\partial \theta^2}(h, \theta') &= \frac{h}{2} \frac{h}{J(1 + \Delta)} - \frac{J(1 + \Delta)}{2} \left(2 \left(\frac{h}{J(1 + \Delta)} \right)^2 - 1 \right) \\ &= \frac{J(1 + \Delta)}{2} - \frac{1}{2} \frac{h^2}{J(1 + \Delta)} \\ &= \frac{J(1 + \Delta)}{2} \left(1 - \left(\frac{h}{J(1 + \Delta)} \right)^2 \right)\end{aligned}\tag{31}$$

$h \leq J(1 + \Delta)$ より $h/J(1 + \Delta) \leq 1$ なので

$$\frac{\partial^2 e}{\partial \theta^2}(h, \theta') \geq 0\tag{32}$$

以上から $\theta = 0, \pi$ は極大値であり, $\theta = \theta'$ が極小値である. また $\theta = \theta'$ でのエネルギー期待値は

$$\begin{aligned}
e(h, \theta') &= -\frac{J}{4} \sin^2 \theta' + \frac{J\Delta}{4} \cos^2 \theta' - \frac{h}{2} \cos \theta' \\
&= -\frac{J}{4} (1 - \cos^2 \theta') + \frac{J\Delta}{4} \cos^2 \theta' - \frac{h}{2} \cos \theta' \\
&= -\frac{J}{4} + \frac{J}{4} (1 + \Delta) \cos^2 \theta' - \frac{h}{2} \cos \theta' \\
&= -\frac{J}{4} + \frac{J}{4} (1 + \Delta) \left(\frac{h}{J(1 + \Delta)} \right)^2 - \frac{h}{2} \left(\frac{h}{J(1 + \Delta)} \right) \\
&= -\frac{J}{4} - \frac{1}{4} \frac{h^2}{J(1 + \Delta)}
\end{aligned} \tag{33}$$

以上から $h \leq J(1 + \Delta)$ では

$$\begin{aligned}
\theta_0 &= \arccos \left(\frac{h}{J(1 + \Delta)} \right) \\
e_0(h) &= -\frac{J}{4} - \frac{1}{4} \frac{h^2}{J(1 + \Delta)}
\end{aligned} \tag{34}$$

となる.

また $\cos \theta_0 = 1 \iff \theta_0 = 0$ となる飽和磁場は $h_s = J(1 + \Delta)$ である. ここで S_j^z の期待値は (21) 式から $(\cos \theta)/2$ であった. 与えられた磁場においてエネルギー期待値が最小となる θ すなわち θ_0 が実現されるならば, 磁場 h のもとでの磁化は

$$\begin{aligned}
m(h) &= \frac{1}{N} \sum_{j=1}^N \langle S_j^z \rangle \\
&= \frac{1}{N} \sum_{j=1}^N \frac{1}{2} \cos \theta_0(h) \\
&= \frac{1}{2} \cos \theta_0(h) \\
&= \begin{cases} \frac{h}{2J(1 + \Delta)} & (h \leq J(1 + \Delta)) \\ \frac{1}{2} & (h > J(1 + \Delta)) \end{cases}
\end{aligned} \tag{35}$$

であり, これは図 2 のような磁化過程を示す.

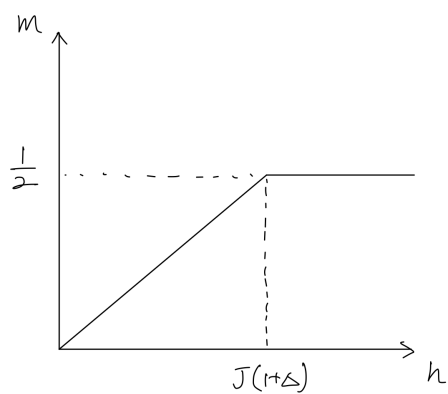


図 2 磁化過程

(d)

Néel 状態におけるエネルギー期待値を計算する．まず $S_j^+ S_{j+1}^-$ の期待値は, j が偶数のとき